

(資料5) 平成元年度油症検診・血液中P C B 及びP C Q 検査結果

理化学課

平成元年度福岡県油症一斉検診に分析班の一員として当試験所も参加し、血液中のP C B 及びP C Q (ポリ塩化クオーターフェニル) の分析を担当したのでその概要を報告する。

P C B は、各種塩化ビフェニールの混合物であることから、P C B のガスクロマトグラム (2 % O V - 1, K C 300 - 600 等量混合) をみても 26 のピークがみられる。このため最終分析手段であるガスクロマトグラフによる測定法の相違、計算法等、数種の定量法がある。

・ピークパターン法

・数値化法

・十塩化ビフェニール法

油症検診において油症患者と健常人の血液中のP C B パターンを比較した結果、pp'-D D E ピーク以後の1番目のP C B ピークが小さく、5番目のP C B ピークが大きいということから主ピークであるpp'-D D E から2番目のピークに対する各ピークの相対値で比較している。現在、福岡県では、ピークパターン法 (K C 500 : 600 = 1 : 1) を用いピーク高さによる各ピークの相対値の比較や定量を行っている。しかし、前述したように数種の定量法があることから、他県では数値化法を用いているところがある。そこで互いのデータの比較が容易に出来るように本年度より次の項目についても結果を出すこととなった。

数値化法による

total P C B 濃度 (ppb)

ピーク1 (ppb) (after pp'-D D E)

2 (ppb) (after pp'-D D E)

3 (ppb) (after pp'-D D E)

そこで、従来のピークパターン法と数値化法によるデータの比較を行った。また、本年度より当試験所ではP C Q の分析にキャピラリーカラムを用いたのであわせて報告する。

1) 検査件数

平成元年度に当試験所で分析を担当した件数は以下の通りである。

P C B のみ	18 件	—	計 20 件
P C B 及びP C Q	2 件	—	
(精度管理用希釈血液1件を含む)			

衛生化学係

2) 分析法 (試料の前処理)

標準の方法 (油症患者及び健常者血液中のP C B, P C Q 濃度、全国油症班会議、福岡、1979) に準じて行った。

3) 測定機器及び測定条件

P C B

測定機器：柳本 G - 2800 (63 N i - E C D)

カラム；2 % - O V 1 on Chromosorb W

A W - D M C S 80 / 100, 2.0 m * 3.0 mm i d

温度；210 °C

データ処理装置；島津 C - R 5 A

P C Q

測定機器：H P 5890 (63 N i - E C D)

カラム；Quadrex Fused Silica Capillary Column Bonded MP65HT (O V - 22相当)
25 m * 0.25 mm i d 0.1 μm Film Thickness

スプリットレス注入

温度；

80 °C RATE 270 °C RATE 330 °C

| → | → |

5 min 20 °C / min 1 min 5 °C / min 50 min

データ処理装置；H P 3396 A

表1. 対象血液分析結果

試料	P C B 濃度 (ppb)	1/2% 値 ^{*1}	5/2% 値 ^{*2}
福岡県	1.5	25.8	10.8
福岡市	1.4	23.9	9.9
北九州市	1.2	23.3	8.3
平均(M)	1.4	24.3	9.7
標準偏差(σ)		8.0	2.2

*1 : peak height ratio (%) of first peak to second peak after pp'-D D E

*2 : peak height ratio (%) of 5th peak to second peak after pp'-D D E

4) 対象血液分析結果

P C B ピークパターンの判定基準を求めるために、健常人の血液（男5人、女5人の混合物）を福岡県、北九州市及び当市の3者間で交換して分析を実施したが、その結果は表1の通りである。

以上の結果より、P C B ピークパターンの判定基準値は図1のとおりである。

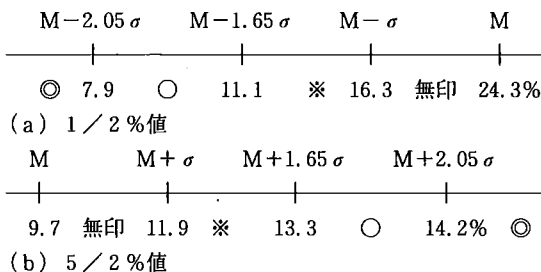


図1. P C B ピークパターン判定基準

5) P C B ピークパターンの判定

上記の判定基準値をもとに、各P C B ピークパターンのタイプ別判定は表2のように行なった。

表2. P C B ピークパターンのタイプ別判定基準表

タイプ	(1/2) + (5/2) の記号
A	◎+○, ○+○, ○+◎
B	◎+※, ○+○, ※+○
B-C	無印+○, ○+無印, ○+※, ※+○, ※+※
C	無印+無印, 無印+※, ※+無印

6) 血液中P C B の分析結果

表3に平成元年度の血液中P C B 分析結果及びP C B ピークパターン別人数の内訳を示した。認定患者で

表3. P C B ピークパターン別人数の内訳
及びP C B 濃度(ppb)の範囲

タイプ	患者 (Max, Min)	経過観察者	未認定者
A	6人 (23.5, 3.1)		
B	3人 (4.5, 2.2)		
B-C	0人		
C	10人 (3.6, 1.1)		

Aタイプの人はP C B 濃度が最大23.5 ppb、最小3.1 ppb、平均10.1 ppbであり、健常人の血液中P C B 濃度1.4 ppbと比較すると2~3倍高い値の人、10倍以上高い値の人と個人差がみられた。タイプBの認定患者は、最大4.5 ppb、最小2.2 ppbであり、健常人の2倍程度であった。タイプCの認定患者は最大3.6 ppb、最少1.1 ppbで健常人の血液中P C B 濃度と同程度であった。

7) 数値化法による判定

数値化法（各ピークの絶対濃度）による対象血液の分析結果を表-4に、P C B ピークパターンの判定基準値を図-2に示した。

表4. 数値化法による対象血液分析結果

試料	P C B 濃度 (ppb)	1/2% 値 ^{*1}	5/2% 値 ^{*2}
福岡県	0.96	38.5	30.8
福岡市	0.84	33.3	25.0
北九州市	0.73	35.0	25.0
平均(M)	0.84	35.6	26.9
標準偏差(σ)		11.7	6.2

*1 : peak conc. ratio (%) of first peak to second peak after pp'-DDE

*2 : peak conc. ratio (%) of 5th peak to second peak after pp'DDE

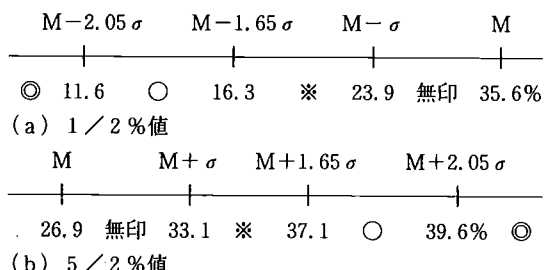


図2. 数値化法によるP C B ピークパターン判定基準

8) ピークパターン法と数値化法の比較

ピークパターン法と数値化法の分析結果を表-5に示した。それぞれの方法によるピークパターンの判定に相違はなかった。P C B の濃度は、数値化法がピークパターン法の55%~65%の値であった。

表-5 ピークパターン法と数値化法の分析結果

連番	区分	ピークパターン法				数 値 化 法													
		P C B			濃度(ppb)	1 / 2	5 / 2	判定	C B濃度(ppb)								ピーク比(%)		
		No.1	No.2	No.3					No.4	No.5	No.6	No.7	No.8	Σ C B	1 / 2	5 / 2	判定		
1	患	2.2	15.9※	19.0○	B	0.07	0.34	0.19	0.15	0.17	0.31	0.10	0.09	1.42	20.6※	50.0○	B		
2	患	4.5	34.3	14.3○	B	0.32	0.70	0.45	0.29	0.34	0.38	0.11	0.15	2.74	45.7	48.6○	B		
3	患	1.1	16.0※	14.0	C	0.03	0.15	0.09	0.06	0.04	0.16	0.03	0.05	0.61	20.0※	26.7	C		
4	患	5.4	6.5○	24.2○	A	0.08	0.73	0.60	0.27	0.58	0.69	0.20	0.17	3.32	11.0○	79.5○	A		
5	患	2.2	40.0	8.0	C	0.15	0.28	0.16	0.10	0.08	0.35	0.03	0.08	1.23	53.6	28.6	C		
6	患	1.5	34.0	1.9	C	0.09	0.17	0.10	0.10	0.01	0.26	0.03	0.05	0.81	52.9	5.9	C		
7	患	1.9	52.8	11.1	C	0.18	0.25	0.13	0.11	0.09	0.19	0.07	0.08	1.10	72.0	36.0※	C		
8	患	2.2	26.8	11.3	C	0.11	0.31	0.17	0.13	0.09	0.22	0.04	0.07	1.14	35.5	29.0	C		
9	患	3.0	18.3	19.7○	B	0.10	0.46	0.33	0.16	0.23	0.25	0.09	0.10	1.72	21.7※	50.0○	B		
10	患	19.4	3.8○	58.8○	A	0.06	2.32	2.91	0.50	4.08	1.59	0.94	0.27	12.67	2.6○	176 ○	A		
11	患	1.5	21.7	6.5	C	0.06	0.21	0.09	0.10	0.04	0.21	0.03	0.08	0.82	28.6	19.0	C		
12	患	2.6	40.0	10.0	C	0.20	0.37	0.21	0.14	0.11	0.24	0.05	0.07	1.39	54.1	29.7	C		
13	患	2.9	30.2	9.5	C	0.18	0.45	0.24	0.18	0.12	0.25	0.06	0.09	1.57	40.0	26.7	C		
14	患	3.1	9.7○	33.9○	A	0.05	0.41	0.28	0.15	0.47	0.42	0.07	0.08	1.93	12.2○	115 ○	A		
15	患	3.6	23.3	6.8	C	0.17	0.57	0.32	0.24	0.10	0.33	0.10	0.11	1.94	29.8	17.5	C		
16	患	5.2	6.2○	33.0○	A	0.05	0.72	0.54	0.26	0.78	0.62	0.26	0.17	3.40	6.9○	108 ○	A		
17	患	4.1	5.0○	51.3○	A	0.04	0.53	0.48	0.10	0.70	0.37	0.21	0.09	2.52	7.5○	132 ○	A		
18	患	1.5	20.4	5.6	C	0.07	0.25	0.12	0.10	0.04	0.15	0.04	0.07	0.84	28.0	16.0	C		
19	患	23.5	2.6○	59.2○	A	0.10	2.67	3.07	0.57	4.24	1.97	0.98	0.53	14.13	3.7○	159 ○	A		
20	希釈	0.8	12.5※	25.0○	B	0.02	0.09	0.08	0.03	0.06	0.14	0.02	0.06	0.50	22.2※	66.7○	B		

No.1~8 ; after pp'-DDE No.1=2, 4, 5, 3', 4' - pentachlorobiphenyl相当 ND : P C B 0.01ppb未満
 No.2=2, 4, 5, 2', 4', 5' - hexachlorobiphenyl相当 P C Q 0.02ppb以下
 No.5=2, 3, 4, 5, 3', 4' - hexachlorobiphenyl相当

9) 血液中 P C Q の分析結果

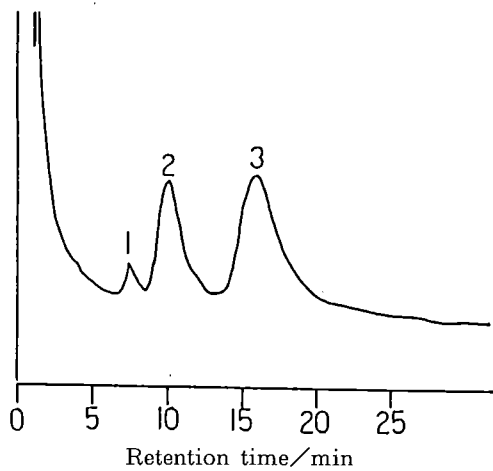
本年度の P C Q の分析件数は、患者 1 名及び精度管理用希釈血液 1 件の計 2 件であった。患者の分析結果は 6.9 ppb であった。希釈血液（P C Q 6.9 ppb の患者の 50 倍希釈）の分析結果は、0.13 ppb であった。患者及び希釈血液の 2 件は、精度管理を目的として福岡県及び北九州市でも同時に分析を実施したが、3 者の間で分析結果はよく一致した。

10) キャピラリーカラムによる P C Q の分析について

昨年度まではパックドカラム（1.5% - S E 52）を使用していたがピークがブロードなこと、異性体の分離に難があること等の理由により、本年度より理論段数が高く、分離能に優れたキャピラリーカラムを用いることとした。

パックドカラムとキャピラリーカラムのそれぞれのクロマトグラムを図-3 に示した。P C Q の完全塩素化物（O D C Q ）は、6 種の異性体がある。パックドカラムを用いるとそのいくつかは重なり 3 本のピークでしか分離できない。そこでキャピラリーカラムを用いると 5 本のピークとして分離できた。今回の検体を用いて定量値を比較したが以下に示すとおり良く一致した。

	患者 (ppb)	希釈血液 (ppb)
パックドカラム	7.2	0.18
キャピラリーカラム	6.9	0.13



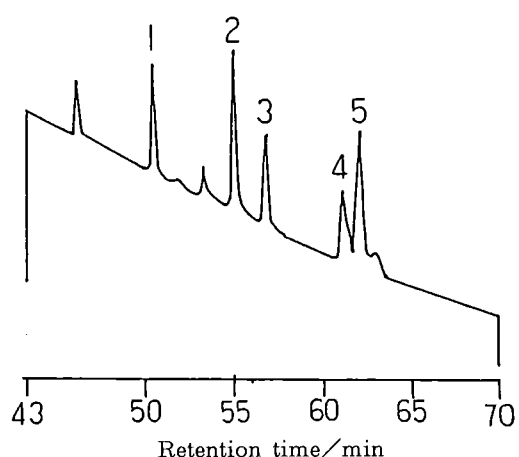
カラム : 1.5% SE-52 Chromosorb W AW-D
MCS 60/80 0.45m×2.5mm I.D.

カラム温度 : 300°C

Peak 1 ; 2, 2' -ODCQ,

Peak 2 ; 2, 3' -ODCQ + 2, 4' -ODCQ,

Peak 3 ; 3, 3' -ODCQ + 3, 4' -ODCQ + 4, 4' -
ODCQ



カラム ; methyl 65% phenyl silicone (eq. to OV-22 : 25m×0.25mm I.D., film thickness 0.1 μm : Quadrex Co.)

Peak 1 ; 2, 2' -ODCQ,

Peak 2 ; 2, 3' -ODCQ,

Peak 3 ; 2, 4' -ODCQ

Peak 4 ; 4, 4' -ODCQ + 3, 3' -ODCQ,

Peak 5 ; 3, 4' -ODCQ

図-3 PCQのガスクロマトグラム